

НЕСТАЦИОНАРНАЯ ДИНАМИКА РЕБРИСТОЙ ЦИЛИНДРИЧЕСКОЙ ОБОЛОЧКИ КОНЕЧНОЙ ДЛИНЫ

Пожуев А.В.

В настоящей работе найдено решение задачи о действии подвижных нагрузок на цилиндрическую оболочку конечной длины, подкрепленную по наружной поверхности продольными ребрами жесткости и содержащую внутри упругий инерционный наполнитель. Движущаяся нагрузка передается на оболочку только через ребра, вне ребер нагружение отсутствует. Учитывается дискретность расположения ребер путем записи для них уравнений движения балок с последующим удовлетворением условий сопряжения.

Для описания движения оболочки используются уравнения с учетом деформации сдвига и инерции вращения (типа Тимошенко). Движение каждого ребра описывается уравнением теории балок

$$E_{\delta_i} \cdot I_i \cdot \frac{\partial^4 Z_{\delta_i}}{\partial x^4} + \rho_{\delta_i} \cdot F_i \cdot \frac{\partial^2 Z_{\delta_i}}{\partial t^2} = p_{\delta_i}(x, t) - q_{0i}(x, t) \quad (i=1, L), \quad (1)$$

где $p_{\delta_i}(x, t)$ - интенсивность заданной нагрузки на соответствующее ребро, $q_{0i}(x, t)$ - неизвестная реакция со стороны оболочки, приходящаяся на погонную единицу длины i -ой балки.

Движение наполнителя подчиняется динамическими уравнениями теории упругости:

$$(\lambda_c + 2\mu_c) \text{grad div } \bar{\omega} + \mu_c \text{rot rot } \bar{\omega} = \rho_c \frac{\partial^2 \bar{\omega}}{\partial t^2} \quad (2)$$

При решении данной задачи были рассмотрены граничные условия для жесткого и скользящего контакта наполнителя с оболочкой:

а) для случая скользящего контакта:

$$\text{при } r = a \quad \sigma_{rx} = \sigma_{r\theta} = 0; \quad \sigma_{rr} = -q_r; \quad u_r = w; \quad (3)$$

б) для случая идеального контакта:

$$\begin{aligned} \text{при } r = a \quad \sigma_{rx} = q_x; \quad \sigma_{r\theta} = q_\theta; \quad \sigma_{rr} = q_r; \quad (4) \\ u_r = w; \quad u_x = u - h\chi_x/2; \quad u_\theta = v - h\chi_\theta/2, \end{aligned}$$

где a, b - наружный и внутренний радиусы наполнителя. Внутренняя поверхность наполнителя принимается свободной от напряжений, тогда

$$\text{при } r = b \quad \sigma_{rx} = \sigma_{r\theta} = \sigma_{rr} = 0$$

Контакт между ребрами и оболочкой происходит по осям балок, следовательно, внешняя нагрузка на оболочку равна сумме давлений, передаваемых через каждое ребро, на осях балок ($\theta = \theta_k$) перемещения оболочки равны прогибам балок с противоположным знаком.

Для решения данной задачи переходим во всех уравнениях к безразмерным переменным, относя все линейные величины к наружному радиусу наполнителя. Интегрирование уравнений движения наполнителя осуществляем путем введения потенциальных функций. После их подстановки применяем преобразование Лапласа по времени, после чего раскладываем все искомые функции в ряды Фурье по осевой и угловой координатам. Получаем в пространстве изображений волновые уравнения:

$$\begin{aligned} \left(\frac{\partial^2}{\partial r_*^2} + \frac{1}{r_*} \frac{\partial}{\partial r_*} - \frac{m^2}{r_*^2} - (\beta^2 + \lambda^2 p^2) \right) \cdot \Phi = 0, \\ \left(\frac{\partial^2}{\partial r_*^2} + \frac{1}{r_*} \frac{\partial}{\partial r_*} - \frac{m^2}{r_*^2} - (\beta^2 + p^2) \right) \cdot \{\Psi, X\} = 0 \end{aligned} \quad (5)$$

где $\lambda^2 = \frac{1-2\nu_c}{2(1-\nu_c)}$, $\beta = \frac{n\pi}{\delta}$, p, n, m - параметры преобразования Лапласа и разложений в ряды Фурье,

δ - безразмерная длина системы. Решением полученных уравнений являются линейные комбинации функций Бесселя от мнимого аргумента первого и второго рода с неизвестными коэффициентами:

$$\begin{aligned}
\Phi_m(r_*) &= A_m K_m(m_R r_*) + B_m I_m(m_R r_*) \\
\Psi_m(r_*) &= C_m K_m(m_S r_*) + D_m I_m(m_S r_*) \\
X_m(r_*) &= E_m K_m(m_S r_*) + S_m I_m(m_S r_*) \\
m_R &= \sqrt{\beta^2 + \lambda^2 p^2}, \quad m_S = \sqrt{\beta^2 + p^2},
\end{aligned} \tag{6}$$

Применяя аналогичные преобразования к уравнениям оболочки типа Тимошенко, получаем:

$$\begin{aligned}
\{V^*, W^*, \chi_\theta, q_\theta^*, q_r^*, F^*\} &= \sum_{n=0}^{\infty} \{V_n^*, W_n^*, \chi_{\theta n}, q_{\theta n}^*, q_{r n}^*, F_n^*\} \cdot \sin(\beta x^*) \\
\{U^*, \chi_x, q_x^*\} &= \sum_{n=0}^{\infty} \{U_n^*, \chi_{x n}, q_{x n}^*\} \cdot \cos(\beta x^*) \\
\{U_n^*, W_n^*, \chi_{x n}, q_{r n}^*, F_n^*\} &= \sum_{m=0}^{\infty} \{U_m^*, W_m^*, \chi_{x m}, q_{r m}^*, F_m^*\} \cdot \cos(m \theta) \\
\{V_n^*, \chi_{\theta n}, q_{\theta n}^*\} &= \sum_{m=0}^{\infty} \{V_m^*, \chi_{\theta m}, q_{\theta m}^*\} \cdot \sin(m \theta) \\
-\beta^2 \cdot U_{mn}^* - m^2 \frac{1-\nu}{2} \cdot U_{mn}^* + \beta m \frac{1+\nu}{2} \cdot V_{mn}^* - \nu \beta \cdot W_{mn}^* - \rho_* p^2 \frac{1-\nu}{2\gamma} \cdot U_{mn}^* &= -\frac{1-\nu}{2\gamma\phi_2} \cdot \frac{q_{xmn}^*}{G_m} \tag{7} \\
m\beta \frac{1+\nu}{2} \cdot U_{mn}^* - \beta^2 \frac{1-\nu}{2} \cdot V_{mn}^* - m^2 V_{mn}^* - m \left[1 + \frac{(1-\nu)k^2}{2} \right] \cdot W_{mn}^* + \frac{1-\nu}{2} k^2 \chi_{\theta mn} - \\
- \rho_* p^2 \frac{1-\nu}{2\gamma} \cdot V_{mn}^* &= -\frac{1-\nu}{2\gamma\phi_2} \cdot \frac{q_{\theta mn}^*}{G_m} \\
\nu \cdot \frac{\partial U^*}{\partial x_*} + \frac{\partial V^*}{\partial \theta} - \frac{1-\nu}{2} \cdot k^2 \cdot \left[\frac{\partial^2 W^*}{\partial x_*^2} + \frac{\partial^2 W^*}{\partial \theta^2} \right] + W^* + \rho_* \cdot \frac{1-\nu}{2\gamma} \cdot \frac{\partial^2 W^*}{\partial \tau^2} - \\
- \frac{1-\nu}{2} \cdot k^2 \cdot \frac{\partial \chi_x}{\partial x_*} - \frac{1-\nu}{2} \cdot k^2 \cdot \frac{\partial \chi_\theta}{\partial \theta} &= -\frac{1-\nu}{2\gamma\phi_2 G_m} \cdot (F^* + q_r^*) \\
- 6k^2 \cdot \frac{1-\nu}{\phi_2^2} \cdot \frac{\partial W^*}{\partial x_*} + \frac{1+\nu}{2} \cdot \frac{\partial^2 \chi_\theta}{\partial x_* \partial \theta} + \frac{\partial^2 \chi_x}{\partial x_*^2} + \frac{1-\nu}{2} \cdot \frac{\partial^2 \chi_x}{\partial \theta^2} - 6k^2 \cdot \frac{1-\nu}{\phi_2^2} \chi_x - \\
- \rho_* \cdot \frac{1-\nu}{2\gamma} \cdot \frac{\partial^2 \chi_x}{\partial \tau^2} &= -3 \frac{1-\nu}{\gamma\phi_2^2 G_m} \cdot q_x^* \\
- 6k^2 \cdot \frac{1-\nu}{\phi_2^2} \cdot \frac{\partial W^*}{\partial \theta} + \frac{1+\nu}{2} \cdot \frac{\partial^2 \chi_x}{\partial x_* \partial \theta} + \frac{1-\nu}{2} \cdot \frac{\partial^2 \chi_\theta}{\partial x_*^2} + \frac{\partial^2 \chi_\theta}{\partial \theta^2} - 6k^2 \cdot \frac{1-\nu}{\phi_2^2} \chi_\theta - \\
- \rho_* \cdot \frac{1-\nu}{2\gamma} \cdot \frac{\partial^2 \chi_\theta}{\partial \tau^2} &= -3 \frac{1-\nu}{\gamma\phi_2^2 G_m} \cdot q_\theta^*
\end{aligned}$$

Затем выражаем неизвестные переменные через компоненты тензора перемещений в оболочке. Удовлетворяя граничным условиям, получаем систему линейных уравнений относительно неизвестных коэффициентов при функциях Бесселя, в которую также входит неизвестная реакция со стороны балок. Поэтому обратный ход алгоритма может начать осуществляться только после того, как к уже полученной системе уравнений с помощью условий сопряжения будут подключены полученные после применения одномерного разложения в ряд Фурье по x и преобразования Лапласа по времени уравнения движения балок.

Разрешая систему для определения коэффициентов, находим трансформанты напряженно-деформированного состояния в любой точке оболочки, заполнителя и ребер. Окончательное решение задачи сводится к суммированию рядов Фурье и обращению преобразования Лапласа.

В качестве примера рассмотрен случай двух ребер жесткости, места контакта которых с оболочкой определяются координатами $\theta_1 = 0$ и $\theta_2 = \pi$. В начальный момент времени к ребрам прикладывается нормальная сосредоточенная нагрузка. Были рассмотрены как неподвижные нагрузки, расположенные на расстоянии a_1 от начала координат, так и движущиеся вдоль ребер с постоянной скоростью c . Аналитически сосредоточенная подвижная нагрузка описывается следующим образом:

$$p(x_*, \tau) = p_0 \cdot \delta(x - c_* \tau) \quad (8)$$

Для этого случая выражение для трансформанты нормального перемещения примет вид

$$u_r = p_0 \sum_{n=1}^{\infty} \sum_{m=0}^{\infty} \frac{1}{1 - 2 \cdot k^* \cdot v^*} \cdot a_m \cdot T_1(\beta, m, 1) \cos(m\theta) \sin(\beta x_*), \quad (9)$$

где $k^* = 2(1 + \nu_{\delta}) \gamma_{\delta} I^* \beta^4 + \rho_{\delta} F \cdot p^2$; $v^* = \sum_{i=0}^{\infty} T_1(\beta, m, 1) \cdot a_m$

$$\begin{aligned} T_1(\beta, m, r_*) = & \left[\frac{m}{r_*} K_m(m_R r_*) - m_R K_{m+1}(m_R r_*) \right] \cdot A_m + \\ & + \left[\frac{m}{r_*} I_m(m_R r_*) + m_R I_{m+1}(m_R r_*) \right] \cdot B_m + \beta \left[\frac{m}{r_*} K_m(m_S r_*) - m_S K_{m+1}(m_S r_*) \right] \cdot C_m + \\ & + \beta \left[\frac{m}{r_*} I_m(m_S r_*) + m_S I_{m+1}(m_S r_*) \right] \cdot D_m + \frac{m}{r_*} K_m(m_S r_*) \cdot E_m + \frac{m}{r_*} I_m(m_S r_*) \cdot S_m. \end{aligned}$$

При расчетах принимались следующие значения безразмерных параметров

$$\begin{aligned} \nu = \nu_c = \nu_{\delta_1} = \nu_{\delta_2} = 0,3; \quad \rho^* = 12,5; \quad k^2 = 2/3; \quad \rho_{\delta_1}^* = \rho_{\delta_2}^* = 25; \quad c_* = 0,4 \\ I_1^* = I_2^* = 0,0001/24; \quad \delta = 5; \quad F_1^* = F_2^* = 0,005; \quad \gamma_{\delta_1} = \gamma_{\delta_2} = 2 \cdot \gamma. \end{aligned}$$

Число членов ряда по пространственной и по угловой переменным, а также число членов обратного преобразования Лапласа определялись путем численных экспериментов так, чтобы обеспечивалась по всем искомым величинам относительная точность в 3%.

На рис. 1 - 2 показано изменение во времени нормального контактного перемещения и напряжения на границе оболочки и заполнителя для подвижной нагрузки. Рассматривался случай идеального контакта. Из рисунков видно, как происходит переходный процесс для различных отношений модуля сдвига оболочки и заполнителя (для кривой 1 $\gamma = 250$, 2 - 125, 3 - 62.5).

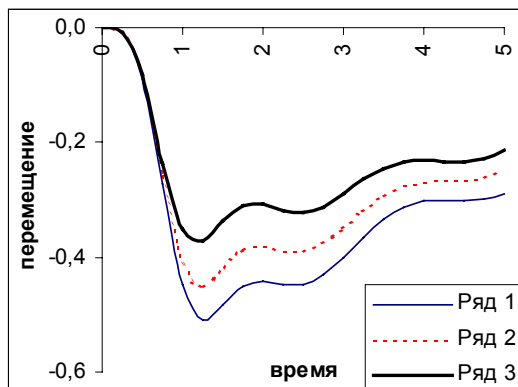


Рис. 1

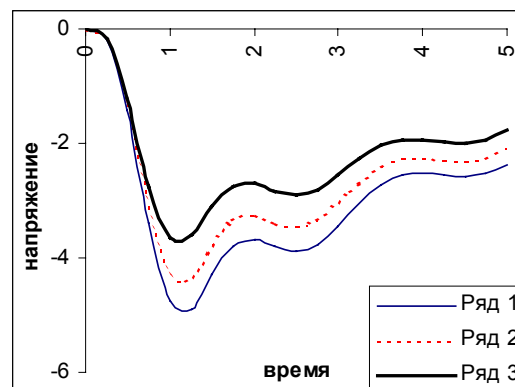


Рис. 2

Рисунки 3 - 4 иллюстрируют характер распределения деформации по осевой координате для различных фиксированных моментов времени (кривая 1 - $\tau = 0.5$, 2 - $\tau = 1$, 3 - $\tau = 3$).

Проведенные расчеты показали надежность и эффективность предложенного подхода для анализа переходных процессов в слоистых конструкциях с дискретными подкреплениями. Полученные графики дают ясную картину нестационарного процесса и позволяют определить область применимости стационарных задач.

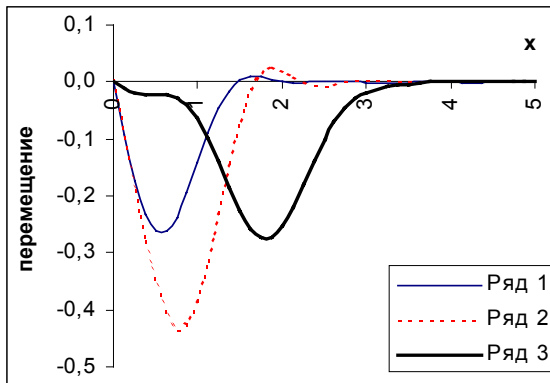


Рис. 3

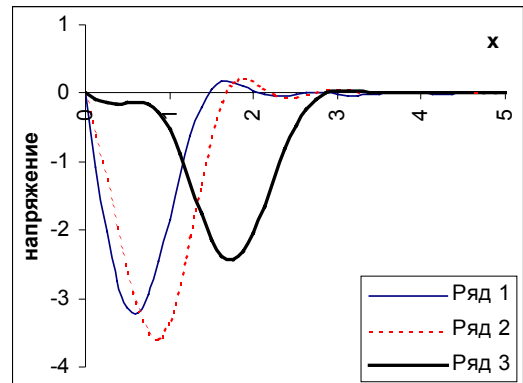


Рис. 4

ЛИТЕРАТУРА

1. Горшков А.Г., Пожуев В.И. Пластины и оболочки на инерционном основании при действии подвижных нагрузок. – М.: МАИ, 1992. – 136 с.
2. Вольмир А.С. Нелинейная динамика пластин и оболочек. – М.: Наука, 1972. – 432 с.
3. Партон В.З., Перлин П.И. Методы математической теории упругости. – М.: Наука, 1981. – 688 с.